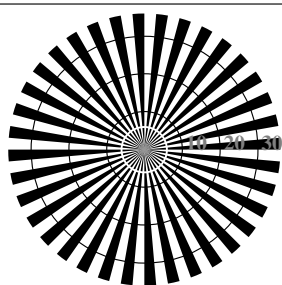
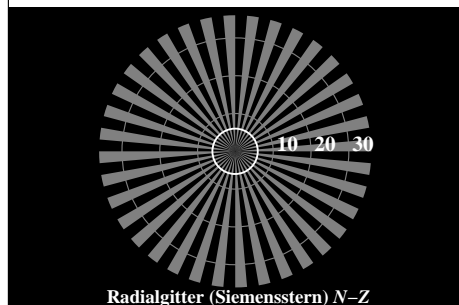


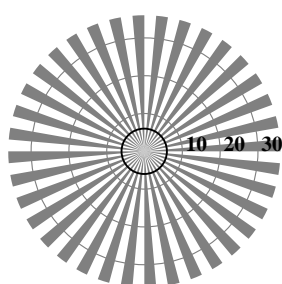
Radialgitter (Siemensstern) N-W



Radialgitter (Siemensstern) W-N



Radialgitter (Siemensstern) N-Z



Radialgitter (Siemensstern) W-Z

OG520-3N, Bild A1-130-0: Radialgitter N-W, W-N, N-Z, W-Z; PS-Operator:  $w^* w^* w^* \text{setrgbcolor}$

$L^*/Y_{\text{intended}}$ (absolut)	0.0/0.0	23.8/4.0	47.7/16.5	71.5/43.0	95.4/88.5	$N_0$ (min.)	$W_1$ (max.)
$w^* w^* w^* \text{setrgb}$ $g_p=1.0$							
Nr. und Hex-Code	00;4	01;3	02;2	03;1	04;0		
$w^* = [L^*_{\text{CIELAB}}, r]$ (relativ)							
$w^*_{\text{intended}}$	0,000	0,250	0,500	0,750	1,000	$N_0$ (min.)	$W_1$ (max.)
$w^*_{\text{out}}$	0.0	0.25	0.5	0.75	1.0		

OG520-5N, Bild A2-130-0: 5 gleichabständige  $L^*$ -Graustufen +  $N_0$  +  $W_1$ ; PS-Operator:  $w^* w^* w^* \text{setrgbcolor}$

$L^*/Y_{\text{intended}}$ (absolut)	0.0/0.0	6.3/0.7	12.7/1.5	19.0/2.7	25.4/4.5	31.8/6.9	38.1/10.1	44.5/14.2	50.8/19.1	57.2/25.1	63.6/32.3	69.9/40.7	76.3/50.4	82.6/61.5	89.0/74.2	95.4/88.5
$w^* w^* w^* \text{setrgb}$ $g_p=1.0$																
Nr. und Hex-Code	00;F	01;E	02;D	03;C	04;B	05;A	06;9	07;8	08;7	09;6	10;5	11;4	12;3	13;2	14;1	15;0
$w^* = [L^*_{\text{CIELAB}}, r]$ (relativ)																
$w^*_{\text{intended}}$	0,000	0,067	0,133	0,200	0,267	0,333	0,400	0,467	0,533	0,600	0,667	0,733	0,800	0,867	0,933	1,000
$w^*_{\text{out}}$	0.0	0.067	0.133	0.2	0.267	0.333	0.4	0.467	0.533	0.6	0.667	0.733	0.8	0.867	0.933	1.0

OG520-7N, Bild A3-130-0: 16 visuell gleichabständige  $L^*$ -Graustufen; PS-Operator:  $w^* w^* w^* \text{setrgbcolor}$

OG52: ähnlich MG16 nach ISO 9241-306; 1MR, DH

Gesehener Y-Kontrast  $Y_W:Y_N=88,9:0,31$ ;  $Y_N$ -Bereich 0,0 to <0,46 Ausgabe 130-0:  $g_p=1.0$ ;  $g_N=1.0$

Umfeldstufe	0	7	E	2	8	F
Hex-Code						

Landoltringe W-N

Code: Umfeld-Ring

OG521-1N, Bild A4-130-0: Landoltringe W-N; PS-Operator:  $w^* w^* w^* \text{setrgbcolor}$

	120	128	136	144	152	160	168	176	184	192	200	208	216	224	232	240	
120 (+8)																	240
60 (+4)																	120
30 (+2)																	60
15 (+1)																	30
	15	16	17	18	19	20	21	22	23	24	25	26	27	28	29	30	

Rasterweite in lpi

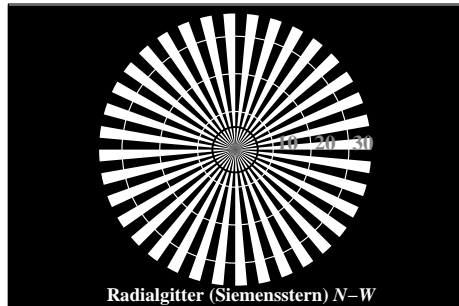
OG521-3N, Bild A5-130-0: Linienraster unter 45° (oder 135°); PS-Operator:  $w^* w^* w^* \text{setrgbcolor}$

	120	128	136	144	152	160	168	176	184	192	200	208	216	224	232	240	
120 (+8)																	240
60 (+4)																	120
30 (+2)																	60
15 (+1)																	30
	15	16	17	18	19	20	21	22	23	24	25	26	27	28	29	30	

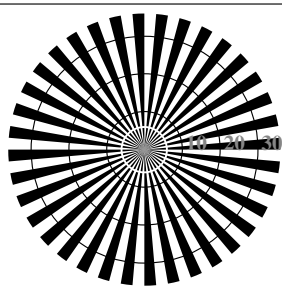
Rasterweite in lpi

OG521-5N, Bild A6-130-0: Linienraster unter 90° (oder 0°); PS-Operator:  $w^* w^* w^* \text{setrgbcolor}$

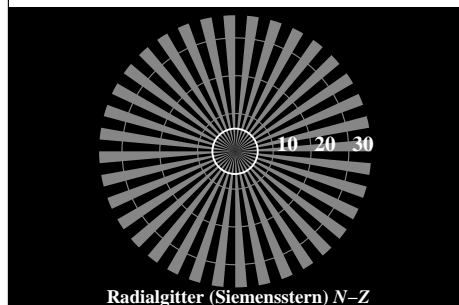
Eingabe:  $\text{cmy0} (-> \text{rgb}^*_d) \text{setcmyk}$



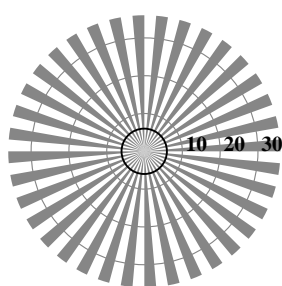
Radialgitter (Siemensstern) N-W



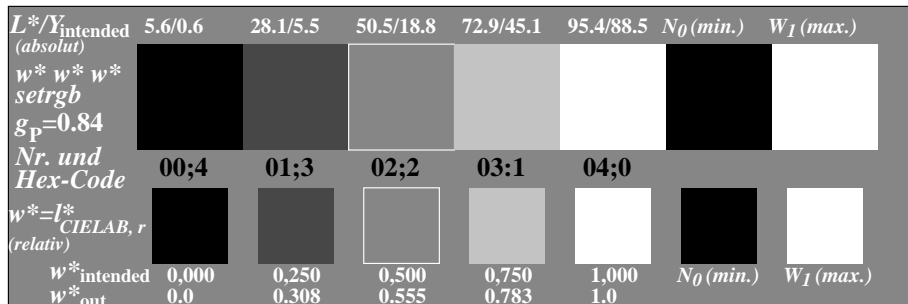
Radialgitter (Siemensstern) W-N



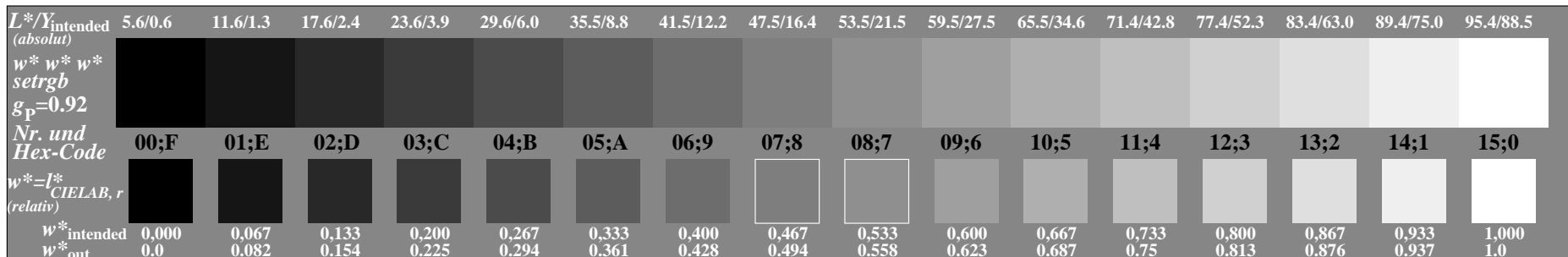
Radialgitter (Siemensstern) N-Z



Radialgitter (Siemensstern) W-Z



OG520-5N, Bild A2-131-0: 5 gleichabständige  $L^*$ -Graustufen+ $N_0$ + $W_1$ ; PS-Operator:  $w^* w^* w^* \text{setrgbcolor}$



OG520-7N, Bild A3-131-0: 16 visuell gleichabständige  $L^*$ -Graustufen; PS-Operator:  $w^* w^* w^* \text{setrgbcolor}$

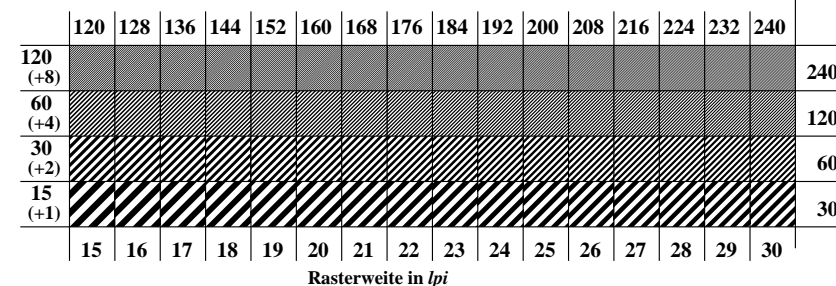
OG52: ähnlich MG16 nach ISO 9241-306; 1MR, DH  
Gesehener Y-Kontrast  $Y_W:Y_N=88,9:0,62$ ;  $Y_N$ -Bereich 0,46 to <0,9

Umfeldstufe	0	1	Ringstufe	0-1
Hex-Code			Hex-Code	
E			F	E-F
2			0	2-0
8			6	8-6
F			D	F-D

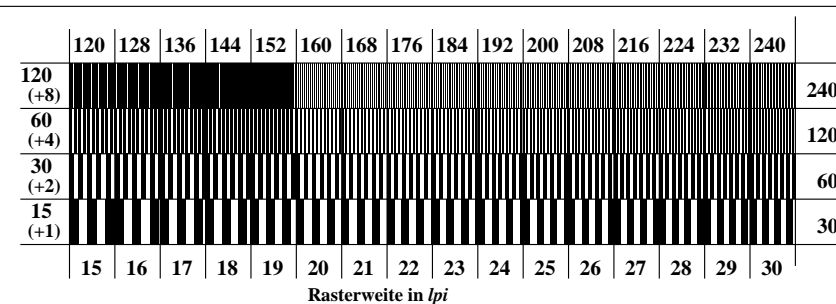
Landoltringe W-N

Code: Umfeld-Ring

OG521-1N, Bild A4-131-0: Landoltringe W-N; PS-Operator:  $w^* w^* w^* \text{setrgbcolor}$

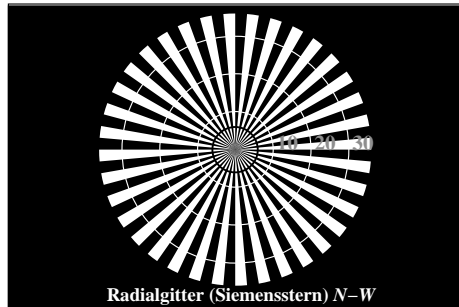


OG521-3N, Bild A5-131-0: Linienraster unter 45° (oder 135°); PS-Operator:  $w^* w^* w^* \text{setrgbcolor}$

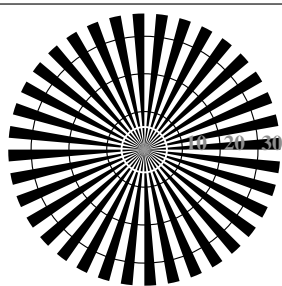


OG521-5N, Bild A6-131-0: Linienraster unter 90° (oder 0°); PS-Operator:  $w^* w^* w^* \text{setrgbcolor}$

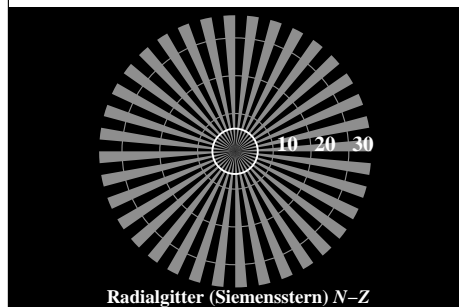
Eingabe:  $\text{cmy0} (-> \text{rgb}^*_d) \text{setcmyk}$   
Ausgabe 131-0:  $g_p=0.92$ ;  $g_N=1.0$



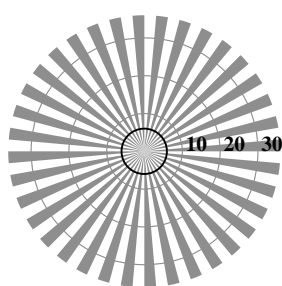
Radialgitter (Siemensstern) N-W



Radialgitter (Siemensstern) W-N



Radialgitter (Siemensstern) N-Z



Radialgitter (Siemensstern) W-Z

OG520-3N, Bild A1-132-0: Radialgitter N-W, W-N, N-Z, W-Z; PS-Operator:  $w^* w^* w^* \text{setrgbcolor}$

$L^*/Y_{\text{intended}}$ (absolut)	10.9/1.2	32.0/7.1	53.2/21.2	74.3/47.1	95.4/88.5	$N_0$ (min.)	$W_1$ (max.)
$w^* w^* w^* \text{setrgb}$ $g_p=0.73$							
Nr. und Hex-Code	00;4	01;3	02;2	03;1	04;0		
$w^* = [L^*_{\text{CIELAB}, r}]$ (relativ)							
$w^*_{\text{intended}}$	0,000	0,250	0,500	0,750	1,000	$N_0$ (min.)	$W_1$ (max.)
$w^*_{\text{out}}$	0.0	0.36	0.6	0.809	1.0		

OG520-5N, Bild A2-132-0: 5 gleichabständige  $L^*$ -Graustufen +  $N_0$  +  $W_1$ ; PS-Operator:  $w^* w^* w^* \text{setrgbcolor}$

$L^*/Y_{\text{intended}}$ (absolut)	10.9/1.2	16.6/2.2	22.2/3.5	27.8/5.4	33.5/7.7	39.1/10.7	44.7/14.3	50.3/18.7	56.0/23.9	61.6/29.9	67.2/36.9	72.8/45.0	78.5/54.1	84.1/64.3	89.7/75.8	95.4/88.5
$w^* w^* w^* \text{setrgb}$ $g_p=0.85$																
Nr. und Hex-Code	00;F	01;E	02;D	03;C	04;B	05;A	06;9	07;8	08;7	09;6	10;5	11;4	12;3	13;2	14;1	15;0
$w^* = [L^*_{\text{CIELAB}, r}]$ (relativ)																
$w^*_{\text{intended}}$	0,000	0,067	0,133	0,200	0,267	0,333	0,400	0,467	0,533	0,600	0,667	0,733	0,800	0,867	0,933	1,000
$w^*_{\text{out}}$	0.0	0.1	0.18	0.254	0.325	0.392	0.458	0.523	0.585	0.647	0.708	0.767	0.827	0.885	0.942	1.0

OG520-7N, Bild A3-132-0: 16 visuell gleichabständige  $L^*$ -Graustufen; PS-Operator:  $w^* w^* w^* \text{setrgbcolor}$

OG52: ähnlich MG16 nach ISO 9241-306; 1MR, DH

Gesehener Y-Kontrast  $Y_W:Y_N=88,9:1,25$ ;  $Y_N$ -Bereich 0,93 to <1,8  
Eingabe:  $\text{cmy0} (-> \text{rgb}^*_d) \text{setcmyk}$   
Ausgabe 132-0:  $g_p=0.85$ ;  $g_N=1.0$

Umfeldstufe	0	7	E	2	8	F
Hex-Code						

Ringstufe	0-1	7-8	E-F	2-0	8-6	F-D
Hex-Code						

Landoltringe W-N

Code: Umfeld-Ring

OG521-1N, Bild A4-132-0: Landoltringe W-N; PS-Operator:  $w^* w^* w^* \text{setrgbcolor}$

	120	128	136	144	152	160	168	176	184	192	200	208	216	224	232	240	
120 (+8)																	240
60 (+4)																	120
30 (+2)																	60
15 (+1)																	30
	15	16	17	18	19	20	21	22	23	24	25	26	27	28	29	30	

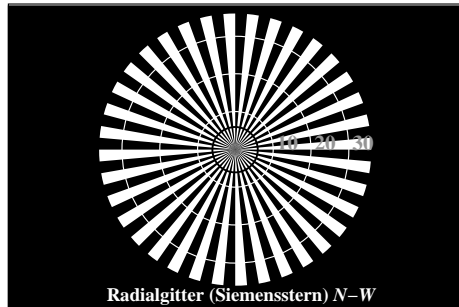
Rasterweite in lpi

OG521-3N, Bild A5-132-0: Linienraster unter 45° (oder 135°); PS-Operator:  $w^* w^* w^* \text{setrgbcolor}$

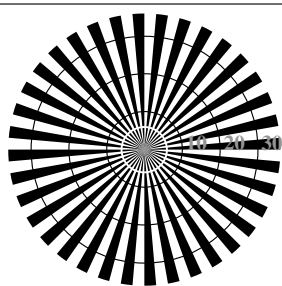
	120	128	136	144	152	160	168	176	184	192	200	208	216	224	232	240	
120 (+8)																	240
60 (+4)																	120
30 (+2)																	60
15 (+1)																	30
	15	16	17	18	19	20	21	22	23	24	25	26	27	28	29	30	

Rasterweite in lpi

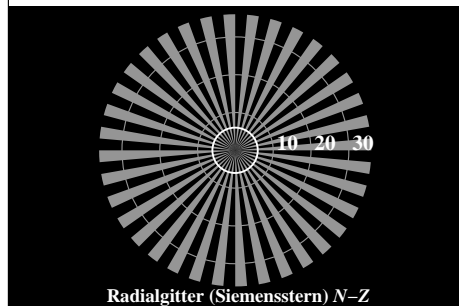
OG521-5N, Bild A6-132-0: Linienraster unter 90° (oder 0°); PS-Operator:  $w^* w^* w^* \text{setrgbcolor}$



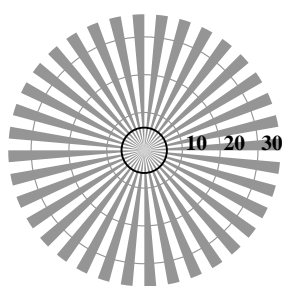
Radialgitter (Siemensstern) N-W



Radialgitter (Siemensstern) W-N



Radialgitter (Siemensstern) N-Z



Radialgitter (Siemensstern) W-Z

OG520-3N, Bild A1-133-0: Radialgitter N-W, W-N, N-Z, W-Z; PS-Operator:  $w^* w^* w^* \text{setrgbcolor}$

$L^*/Y_{\text{intended}}$ (absolut)	18.0/2.5	37.3/9.7	56.7/24.6	76.0/49.9	95.4/88.5	$N_0$ (min.)	$W_1$ (max.)
$w^* w^* w^* \text{setrgb}$							
$g_p=0.64$							
Nr. und Hex-Code	00;4	01;3	02;2	03;1	04;0		
$w^* = [L^*_{\text{CIELAB}}, r]$ (relativ)							
$w^*_{\text{intended}}$	0,000	0,250	0,500	0,750	1,000	$N_0$ (min.)	$W_1$ (max.)
$w^*_{\text{out}}$	0.0	0.406	0.637	0.829	1.0		

OG520-5N, Bild A2-133-0: 5 gleichabständige  $L^*$ -Graustufen +  $N_0$  +  $W_1$ ; PS-Operator:  $w^* w^* w^* \text{setrgbcolor}$

$L^*/Y_{\text{intended}}$ (absolut)	18.0/2.5	23.1/3.8	28.3/5.5	33.4/7.7	38.6/10.4	43.8/13.7	48.9/17.5	54.1/22.0	59.2/27.3	64.4/33.3	69.6/40.1	74.7/47.9	79.9/56.5	85.0/66.1	90.2/76.8	95.4/88.5
$w^* w^* w^* \text{setrgb}$																
$g_p=0.77$																
Nr. und Hex-Code	00;F	01;E	02;D	03;C	04;B	05;A	06;9	07;8	08;7	09;6	10;5	11;4	12;3	13;2	14;1	15;0
$w^* = [L^*_{\text{CIELAB}}, r]$ (relativ)																
$w^*_{\text{intended}}$	0,000	0,067	0,133	0,200	0,267	0,333	0,400	0,467	0,533	0,600	0,667	0,733	0,800	0,867	0,933	1,000
$w^*_{\text{out}}$	0.0	0.123	0.209	0.287	0.359	0.426	0.491	0.554	0.614	0.673	0.73	0.786	0.841	0.895	0.947	1.0

OG520-7N, Bild A3-133-0: 16 visuell gleichabständige  $L^*$ -Graustufen; PS-Operator:  $w^* w^* w^* \text{setrgbcolor}$

OG52: ähnlich MG16 nach ISO 9241-306; 1MR, DH  
Gesehener Y-Kontrast  $Y_W:Y_N=88,9:2,5$ ;  $Y_N$ -Bereich 1,87 to <3,75  
Ausgabe 133-0:  $g_p=0.77$ ;  $g_N=1.0$

Umfeldstufe	0	7	E	2	8	F
Hex-Code						
Ringstufe	0-1	7-8	E-F	2-0	8-6	F-D
Hex-Code						

Landoltringe W-N

Code: Umfeld-Ring

OG521-1N, Bild A4-133-0: Landoltringe W-N; PS-Operator:  $w^* w^* w^* \text{setrgbcolor}$

	120	128	136	144	152	160	168	176	184	192	200	208	216	224	232	240	
120 (+8)																	240
60 (+4)																	120
30 (+2)																	60
15 (+1)																	30
	15	16	17	18	19	20	21	22	23	24	25	26	27	28	29	30	

Rasterweite in lpi

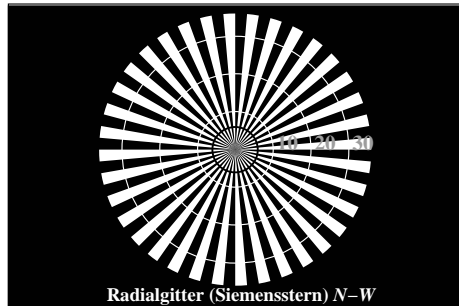
OG521-3N, Bild A5-133-0: Linienraster unter 45° (oder 135°); PS-Operator:  $w^* w^* w^* \text{setrgbcolor}$

	120	128	136	144	152	160	168	176	184	192	200	208	216	224	232	240	
120 (+8)																	240
60 (+4)																	120
30 (+2)																	60
15 (+1)																	30
	15	16	17	18	19	20	21	22	23	24	25	26	27	28	29	30	

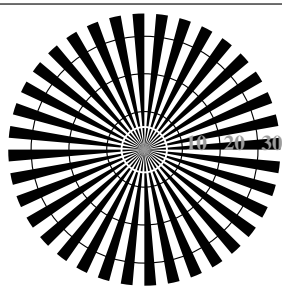
Rasterweite in lpi

OG521-5N, Bild A6-133-0: Linienraster unter 90° (oder 0°); PS-Operator:  $w^* w^* w^* \text{setrgbcolor}$

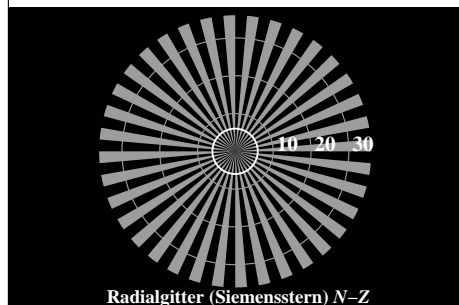




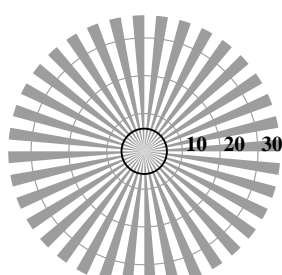
Radialgitter (Siemensstern) N-W



Radialgitter (Siemensstern) W-N



Radialgitter (Siemensstern) N-Z



Radialgitter (Siemensstern) W-Z

OG520-3N, Bild A1-134-0: Radialgitter N-W, W-N, N-Z, W-Z; PS-Operator:  $w^* w^* w^* \text{setrgbcolor}$

$L^*/Y_{\text{intended}}$ (absolut)	26.8/5.0	43.9/13.8	61.1/29.3	78.2/53.6	95.4/88.5	$N_0$ (min.)	$W_1$ (max.)
$w^* w^* w^* \text{setrgb}$ $g_p=0.58$							
Nr. und Hex-Code	00;4	01;3	02;2	03;1	04;0		
$w^* = l^*_{\text{CIELAB}, r}$ (relativ)							
$w^*_{\text{intended}}$	0,000	0,250	0,500	0,750	1,000	$N_0$ (min.)	$W_1$ (max.)
$w^*_{\text{out}}$	0,0	0,446	0,668	0,845	1,0		

OG520-5N, Bild A2-134-0: 5 gleichabständige  $L^*$ -Graustufen+ $N_0$ + $W_1$ ; PS-Operator:  $w^* w^* w^* \text{setrgbcolor}$

$L^*/Y_{\text{intended}}$ (absolut)	26.8/5.0	31.4/6.8	35.9/9.0	40.5/11.5	45.1/14.6	49.7/18.1	54.2/22.2	58.8/26.8	63.4/32.0	67.9/37.9	72.5/44.4	77.1/51.7	81.6/59.7	86.2/68.5	90.8/78.1	95.4/88.5
$w^* w^* w^* \text{setrgb}$ $g_p=0.7$																
Nr. und Hex-Code	00;F	01;E	02;D	03;C	04;B	05;A	06;9	07;8	08;7	09;6	10;5	11;4	12;3	13;2	14;1	15;0
$w^* = l^*_{\text{CIELAB}, r}$ (relativ)																
$w^*_{\text{intended}}$	0,000	0,067	0,133	0,200	0,267	0,333	0,400	0,467	0,533	0,600	0,667	0,733	0,800	0,867	0,933	1,000
$w^*_{\text{out}}$	0,0	0,15	0,243	0,324	0,396	0,463	0,526	0,586	0,643	0,699	0,753	0,804	0,855	0,904	0,952	1,0

OG520-7N, Bild A3-134-0: 16 visuell gleichabständige  $L^*$ -Graustufen; PS-Operator:  $w^* w^* w^* \text{setrgbcolor}$

OG52: ähnlich MG16 nach ISO 9241-306; 1MR, DH  
Gesehener Y-Kontrast  $Y_W:Y_N=88,9:5$ ;  $Y_N$ -Bereich 3,75 to <7,5

Umfeldstufe	0	7	E	2	8	F
Hex-Code						

Ringstufe	0-1	7-8	E-F	2-0	8-6	F-D
Hex-Code						

Landoltringe W-N

Code: Umfeld-Ring

OG521-1N, Bild A4-134-0: Landoltringe W-N; PS-Operator:  $w^* w^* w^* \text{setrgbcolor}$

	120	128	136	144	152	160	168	176	184	192	200	208	216	224	232	240	
120 (+8)																	240
60 (+4)																	120
30 (+2)																	60
15 (+1)																	30
	15	16	17	18	19	20	21	22	23	24	25	26	27	28	29	30	

Rasterweite in lpi

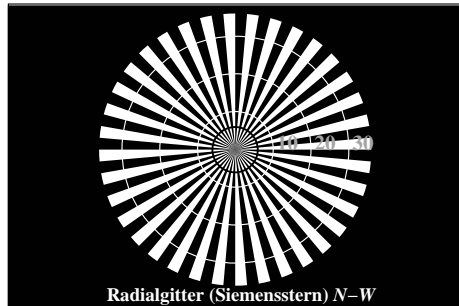
OG521-3N, Bild A5-134-0: Linienraster unter 45° (oder 135°); PS-Operator:  $w^* w^* w^* \text{setrgbcolor}$

	120	128	136	144	152	160	168	176	184	192	200	208	216	224	232	240	
120 (+8)																	240
60 (+4)																	120
30 (+2)																	60
15 (+1)																	30
	15	16	17	18	19	20	21	22	23	24	25	26	27	28	29	30	

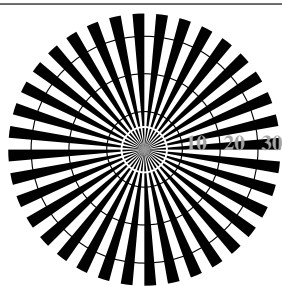
Rasterweite in lpi

OG521-5N, Bild A6-134-0: Linienraster unter 90° (oder 0°); PS-Operator:  $w^* w^* w^* \text{setrgbcolor}$

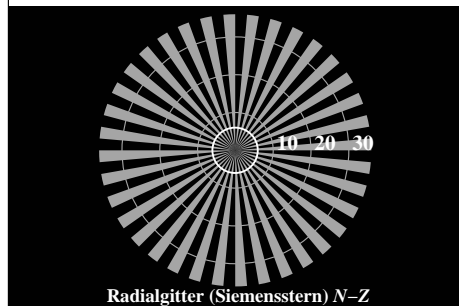
Eingabe:  $\text{cmy0} (-> \text{rgb}^*_d) \text{setcmyk}$   
Ausgabe 134-0:  $g_p=0.7$ ;  $g_N=1.0$



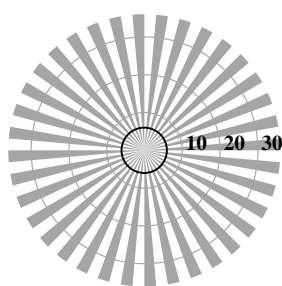
Radialgitter (Siemensstern) N-W



Radialgitter (Siemensstern) W-N



Radialgitter (Siemensstern) N-Z



Radialgitter (Siemensstern) W-Z

OG520-3N, Bild A1-135-0: Radialgitter N-W, W-N, N-Z, W-Z; PS-Operator:  $w^* w^* w^* \text{setrgbcolor}$

$L^*/Y_{\text{intended}}$ (absolut)	37.9/10.0	52.3/20.4	66.6/36.2	81.0/58.5	95.4/88.5	$N_0(\text{min.})$	$W_1(\text{max.})$
$w^* w^* w^* \text{setrgb}$ $g_p=0.52$							
Nr. und Hex-Code	00;4	01;3	02;2	03;1	04;0		
$w^* = [L^*_{\text{CIELAB}, r}]$ (relativ)							
$w^*_{\text{intended}}$	0,000	0,250	0,500	0,750	1,000	$N_0(\text{min.})$	$W_1(\text{max.})$
$w^*_{\text{out}}$	0,0	0,482	0,694	0,859	1,0		

OG520-5N, Bild A2-135-0: 5 gleichabständige  $L^*$ -Graustufen+ $N_0+W_1$ ; PS-Operator:  $w^* w^* w^* \text{setrgbcolor}$

$L^*/Y_{\text{intended}}$ (absolut)	37.9/10.0	41.8/12.3	45.6/15.0	49.4/17.9	53.2/21.3	57.1/25.0	60.9/29.1	64.7/33.7	68.6/38.8	72.4/44.3	76.2/50.3	80.0/56.8	83.9/63.9	87.7/71.5	91.5/79.7	95.4/88.5
$w^* w^* w^* \text{setrgb}$ $g_p=0.62$																
Nr. und Hex-Code	00;F	01;E	02;D	03;C	04;B	05;A	06;9	07;8	08;7	09;6	10;5	11;4	12;3	13;2	14;1	15;0
$w^* = [L^*_{\text{CIELAB}, r}]$ (relativ)																
$w^*_{\text{intended}}$	0,000	0,067	0,133	0,200	0,267	0,333	0,400	0,467	0,533	0,600	0,667	0,733	0,800	0,867	0,933	1,000
$w^*_{\text{out}}$	0,0	0,184	0,283	0,365	0,438	0,502	0,564	0,621	0,674	0,726	0,776	0,823	0,869	0,914	0,957	1,0

OG520-7N, Bild A3-135-0: 16 visuell gleichabständige  $L^*$ -Graustufen; PS-Operator:  $w^* w^* w^* \text{setrgbcolor}$

OG52: ähnlich MG16 nach ISO 9241-306; 1MR, DH  
Gesehener Y-Kontrast  $Y_W:Y_N=88,9:10$ ;  $Y_N$ -Bereich 7,5 to <15

Umfeldstufe	0	7	E	2	8	F
Hex-Code						
Ringstufe	0-1	7-8	E-F	2-0	8-6	F-D
Hex-Code						

Landoltringe W-N

Code: Umfeld-Ring

OG521-1N, Bild A4-135-0: Landoltringe W-N; PS-Operator:  $w^* w^* w^* \text{setrgbcolor}$

	120	128	136	144	152	160	168	176	184	192	200	208	216	224	232	240	
120 (+8)																	240
60 (+4)																	120
30 (+2)																	60
15 (+1)																	30
	15	16	17	18	19	20	21	22	23	24	25	26	27	28	29	30	

Rasterweite in lpi

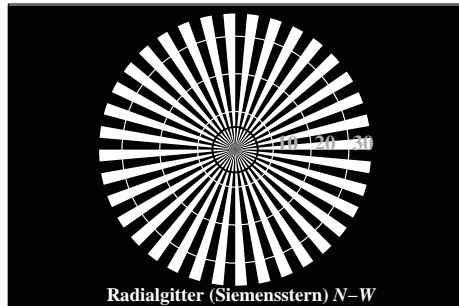
OG521-3N, Bild A5-135-0: Linienraster unter 45° (oder 135°); PS-Operator:  $w^* w^* w^* \text{setrgbcolor}$

	120	128	136	144	152	160	168	176	184	192	200	208	216	224	232	240	
120 (+8)																	240
60 (+4)																	120
30 (+2)																	60
15 (+1)																	30
	15	16	17	18	19	20	21	22	23	24	25	26	27	28	29	30	

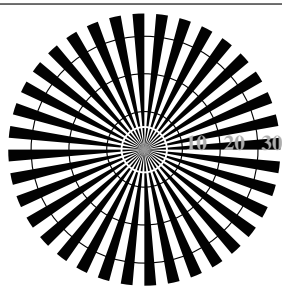
Rasterweite in lpi

OG521-5N, Bild A6-135-0: Linienraster unter 90° (oder 0°); PS-Operator:  $w^* w^* w^* \text{setrgbcolor}$

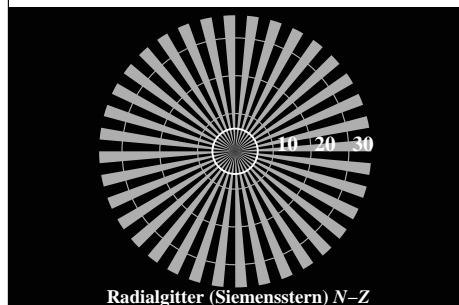
Eingabe:  $\text{cmy0} (-> \text{rgb}^*_d) \text{setcmyk}$   
Ausgabe 135-0:  $g_p=0.62$ ;  $g_N=1.0$



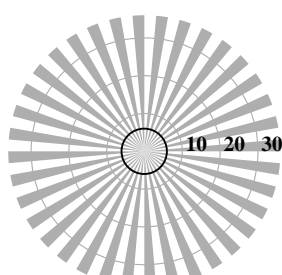
Radialgitter (Siemensstern) N-W



Radialgitter (Siemensstern) W-N



Radialgitter (Siemensstern) N-Z



Radialgitter (Siemensstern) W-Z

OG520-3N, Bild A1-136-0: Radialgitter N-W, W-N, N-Z, W-Z; PS-Operator:  $w^* w^* w^* \text{setrgbcolor}$

$L^*/Y_{\text{intended}}$ (absolut)	52.0/20.1	62.8/31.4	73.7/46.2	84.5/65.1	95.4/88.5	$N_0$ (min.)	$W_1$ (max.)
$w^* w^* w^* \text{setrgb}$ $g_p=0.48$							
Nr. und Hex-Code	00;4	01;3	02;2	03;1	04;0		
$w^* = [L^*_{\text{CIELAB}, r}]$ (relativ)							
$w^*_{\text{intended}}$	0,000	0,250	0,500	0,750	1,000	$N_0$ (min.)	$W_1$ (max.)
$w^*_{\text{out}}$	0,0	0,513	0,716	0,87	1,0		

OG520-5N, Bild A2-136-0: 5 gleichabständige  $L^*$ -Graustufen +  $N_0$  +  $W_1$ ; PS-Operator:  $w^* w^* w^* \text{setrgbcolor}$

$L^*/Y_{\text{intended}}$ (absolut)	52.0/20.1	54.9/22.8	57.8/25.7	60.6/28.9	63.5/32.2	66.4/35.9	69.3/39.8	72.2/44.0	75.1/48.5	78.0/53.3	80.9/58.3	83.8/63.7	86.7/69.4	89.6/75.4	92.5/81.8	95.4/88.5
$w^* w^* w^* \text{setrgb}$ $g_p=0.55$																
Nr. und Hex-Code	00;F	01;E	02;D	03;C	04;B	05;A	06;9	07;8	08;7	09;6	10;5	11;4	12;3	13;2	14;1	15;0
$w^* = [L^*_{\text{CIELAB}, r}]$ (relativ)																
$w^*_{\text{intended}}$	0,000	0,067	0,133	0,200	0,267	0,333	0,400	0,467	0,533	0,600	0,667	0,733	0,800	0,867	0,933	1,000
$w^*_{\text{out}}$	0,0	0,226	0,329	0,412	0,483	0,546	0,604	0,657	0,707	0,755	0,8	0,842	0,884	0,924	0,962	1,0

OG520-7N, Bild A3-136-0: 16 visuell gleichabständige  $L^*$ -Graustufen; PS-Operator:  $w^* w^* w^* \text{setrgbcolor}$

OG52: ähnlich MG16 nach ISO 9241-306; 1MR, DH  
Gesehener Y-Kontrast  $Y_W:Y_N=88,9:20$ ;  $Y_N$ -Bereich 15 to <30

Umfeldstufe Hex-Code	0	7	E	2	8	F
Ringstufe Hex-Code	0-1	7-8	E-F	2-0	8-6	F-D

Landoltringe W-N

Code: Umfeld-Ring

OG521-1N, Bild A4-136-0: Landoltringe W-N; PS-Operator:  $w^* w^* w^* \text{setrgbcolor}$

	120	128	136	144	152	160	168	176	184	192	200	208	216	224	232	240	
120 (+8)																	240
60 (+4)																	120
30 (+2)																	60
15 (+1)																	30
	15	16	17	18	19	20	21	22	23	24	25	26	27	28	29	30	

Rasterweite in lpi

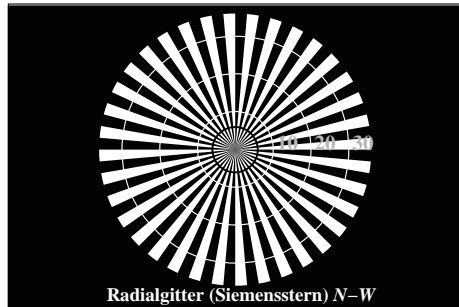
OG521-3N, Bild A5-136-0: Linienraster unter 45° (oder 135°); PS-Operator:  $w^* w^* w^* \text{setrgbcolor}$

	120	128	136	144	152	160	168	176	184	192	200	208	216	224	232	240	
120 (+8)																	240
60 (+4)																	120
30 (+2)																	60
15 (+1)																	30
	15	16	17	18	19	20	21	22	23	24	25	26	27	28	29	30	

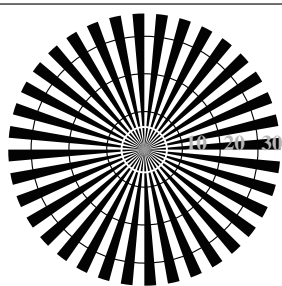
Rasterweite in lpi

OG521-5N, Bild A6-136-0: Linienraster unter 90° (oder 0°); PS-Operator:  $w^* w^* w^* \text{setrgbcolor}$

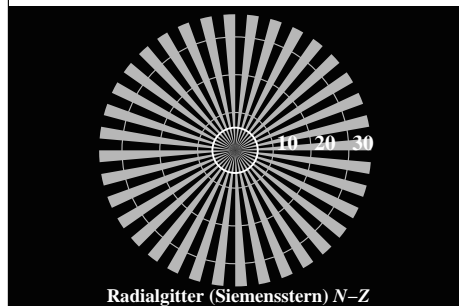
Eingabe:  $\text{cmy0} (-> \text{rgb}^*_d) \text{setcmyk}$   
Ausgabe 136-0:  $g_p=0.55$ ;  $g_N=1.0$



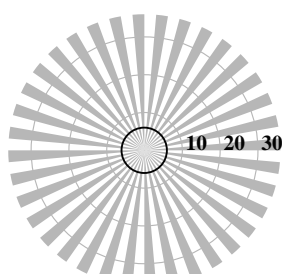
Radialgitter (Siemensstern) N-W



Radialgitter (Siemensstern) W-N



Radialgitter (Siemensstern) N-Z



Radialgitter (Siemensstern) W-Z

OG520-3N, Bild A1-137-0: Radialgitter N-W, W-N, N-Z, W-Z; PS-Operator:  $w^* w^* w^* \text{setrgbcolor}$

$L^*/Y_{\text{intended}}$ (absolut)	69.6/40.3	76.1/50.0	82.5/61.3	88.9/74.1	95.4/88.5	$N_0$ (min.)	$W_1$ (max.)
$w^* w^* w^* \text{setrgb}$ $g_p=0.44$							
Nr. und Hex-Code	00;4	01;3	02;2	03;1	04;0		
$w^* = [L^*_{\text{CIELAB}}, r]$ (relativ)							
$w^*_{\text{intended}}$	0.000	0.250	0.500	0.750	1.000	$N_0$ (min.)	$W_1$ (max.)
$w^*_{\text{out}}$	0.0	0.541	0.735	0.88	1.0		

OG520-5N, Bild A2-137-0: 5 gleichabständige  $L^*$ -Graustufen +  $N_0$  +  $W_1$ ; PS-Operator:  $w^* w^* w^* \text{setrgbcolor}$

$L^*/Y_{\text{intended}}$ (absolut)	69.6/40.3	71.4/42.7	73.1/45.3	74.8/48.0	76.5/50.7	78.2/53.6	79.9/56.6	81.6/59.7	83.4/62.9	85.1/66.2	86.8/69.6	88.5/73.2	90.2/76.8	91.9/80.6	93.6/84.5	95.4/88.5
$w^* w^* w^* \text{setrgb}$ $g_p=0.47$																
Nr. und Hex-Code	00;F	01;E	02;D	03;C	04;B	05;A	06;9	07;8	08;7	09;6	10;5	11;4	12;3	13;2	14;1	15;0
$w^* = [L^*_{\text{CIELAB}}, r]$ (relativ)																
$w^*_{\text{intended}}$	0.000	0.067	0.133	0.200	0.267	0.333	0.400	0.467	0.533	0.600	0.667	0.733	0.800	0.867	0.933	1.000
$w^*_{\text{out}}$	0.0	0.276	0.383	0.465	0.534	0.593	0.647	0.696	0.741	0.784	0.825	0.862	0.899	0.934	0.967	1.0

OG520-7N, Bild A3-137-0: 16 visuell gleichabständige  $L^*$ -Graustufen; PS-Operator:  $w^* w^* w^* \text{setrgbcolor}$

OG52: ähnlich MG16 nach ISO 9241-306; 1MR, DH  
Gesehener Y-Kontrast  $Y_W:Y_N=88,9:40$ ;  $Y_N$ -Bereich 30 to <60

Umfeldstufe Hex-Code	0	7	E	2	8	F
Ringstufe Hex-Code	0-1	7-8	E-F	2-0	8-6	F-D

Landoltringe W-N

Code: Umfeld-Ring

OG521-1N, Bild A4-137-0: Landoltringe W-N; PS-Operator:  $w^* w^* w^* \text{setrgbcolor}$

	120	128	136	144	152	160	168	176	184	192	200	208	216	224	232	240	
120 (+8)																	240
60 (+4)																	120
30 (+2)																	60
15 (+1)																	30
	15	16	17	18	19	20	21	22	23	24	25	26	27	28	29	30	

Rasterweite in lpi

OG521-3N, Bild A5-137-0: Linienraster unter 45° (oder 135°); PS-Operator:  $w^* w^* w^* \text{setrgbcolor}$

	120	128	136	144	152	160	168	176	184	192	200	208	216	224	232	240	
120 (+8)																	240
60 (+4)																	120
30 (+2)																	60
15 (+1)																	30
	15	16	17	18	19	20	21	22	23	24	25	26	27	28	29	30	

Rasterweite in lpi

OG521-5N, Bild A6-137-0: Linienraster unter 90° (oder 0°); PS-Operator:  $w^* w^* w^* \text{setrgbcolor}$

Eingabe:  $\text{cmy0}$  ( $\rightarrow \text{rgb}^*_d$ )  $\text{setcmyk}$   
Ausgabe 137-0:  $g_p=0.47$ ;  $g_N=1.0$